



فصلنامه علمی ((دفاع هوافضایی))

دوره ۱، شماره ۱، خرداد ۱۴۰۱

عنوان مقالات

مقاله پژوهشی

رفتار میدان‌های انتشاری پالس‌های کوتاه رادار لیزری هنگام برخورد با لایه و تیغه‌های پلاسمایی و مطالعه اثرات غیرخطی هماهنگ دوم در پوشش پلاسمایی یکنواخت

سیدعلی حسینی مرادی^۱، حسن رنجبر عسکری^۲، مجتبی رحیمی^۳، نادر قبادی^۴

۱. دانشجوی دکترای فیزیک، گروه فیزیک، دانشگاه ملایر، ایران

۲. استاد فیزیک، گروه فیزیک، دانشکده علوم پایه، دانشگاه ولی‌عصر، رفسنجان، ایران

۳. استادیار فیزیک، گروه فیزیک، دانشکده علوم پایه، دانشگاه ولی‌عصر، رفسنجان، ایران

۴. دانشیار فیزیک، گروه فیزیک، دانشکده علوم پایه، دانشگاه ملایر، ملایر، ایران

چکیده

تاریخ پذیرش: ۱۴۰۰/۱۰/۰۱

در این مقاله، نحوه‌ی تولید هماهنگ دوم امواج طولی و عرضی در اثر انتشار یک پالس کوتاه لیزر یا لیدار در یک پلاسمای سرد کم چگال و غیرمغناطیسی یکنواخت با توجه به اثرات برخورد موردنبررسی قرار می‌گیرد. همچنین اثرات میدان مغناطیسی یکنواخت خارجی مایل بر این پلاسما مورد تجزیه قرار می‌گیرد. انتشار امواج در پلاسمای همسانگرد موجب تولید هماهنگ‌های فرد می‌شود، ولی با اعمال میدان مغناطیسی می‌توان این همسانگردی را از بین برد و هماهنگ‌های زوج نیز تولید کرد. در ادامه با استفاده از تئوری اختلال مؤلفه‌های میدان الکترویکی هماهنگ اول و دوم را تا مرتبه اول اختلال محاسبه نموده و تأثیر انعکاس‌های متواالی را بر روی دامنه میدان الکترویکی هماهنگ‌های اول و دوم و همچنین بازده توان انعکاسی هماهنگ دوم بررسی کرده و با تجزیه و تحلیل روابط موردنظر و رسم نمودارهای موردنظر نتیجه‌گیری صورت می‌گیرد. نهایتاً، رفتار دامنه میدان هماهنگ‌ها برای اختلال مرتبه‌ی صفر و اول در تیغه پلاسمایی برای حالات مختلف بررسی شده و تغییرات آن‌ها را بر حسب پارامترهای مختلف رسم کرده و در مورد نتایج و شرایط بهینه برای کاربردهای مختلف بحث نموده و پیشنهادهایی ارائه می‌نماییم.

تاریخ دریافت: ۱۴۰۰/۰۷/۰۲

کلمات کلیدی:

امواج طولی و عرضی، پالس
کوتاه لیزر، پلاسما، هماهنگ
دوم، لیدار.



نویسنده مسئول:

سیدعلی حسینی مرادی
ایمیل: physicplasma2011@gmail.com

استناد به مقاله: سیدعلی حسینی مرادی، حسن رنجبر عسکری، مجتبی رحیمی، نادر قبادی، رفتار میدان‌های انتشاری پالس‌های کوتاه رادار لیزری هنگام برخورد با لایه و تیغه‌های پلاسمایی و مطالعه اثرات غیرخطی هماهنگ دوم در پوشش پلاسمایی یکنواخت، مجله علمی دفاع هوافضایی دوره ۱، شماره ۱، خرداد ۱۴۰۱.



Journal of Aerospace Defense

Vol. 1, No. 1, 1401

Research Paper



Investigation of the propagation of laser radar short pulses when dealing with plasma layers and slabs and syudy of nonlinear effects of second harmonic

Seyed Ali Hosseini Moradi¹, Hassan Ranjbar Askari², Mojtaba Rahimi³

1- PhD student in Physics, Department of Physics, Malayer University, Iran.

2- Professor of Physics, Department of Physics, Faculty of Basic Sciences, Valiasr University, Rafsanjan, Iran.

3- Assistant Professor, Department of Physics, Faculty of Basic Sciences, Valiasr University, Rafsanjan, Iran.

Article Information

Accepted: 1400/10/01

Received: 1400/07/02

Keywords:

Longitudinal and transverse waves, Laser short pulse, Plasma, Second harmonic, Lidar.



Corresponding author:

SeyedAliHosseiniMoradi

Email:

physicplasma2011@gmail.com

Abstract

In this paper, the method of second harmonic generation of longitudinal and transverse waves in cold, low-density and uniform non-magnetic plasma is investigated, when a short pulse laser or lidar is propagated in the plasma medium and collision effects are considered. Also, the effect of external uniform magnetic field on the plasma is studied. The propagation of electromagnetic waves in isotropic plasma can produce odd harmonics, but magnetic field varies isotropic state and produce even harmonics. Using perturbation theory components of electric field of first and second harmonic are calculated and the effects of successive reflections on the electric field amplitude of first and second harmonics and efficiency of reflection power of second harmonic are investigated. Also, with analysis of government equations the results are obtained. Finally, field amplitude of harmonics for zero and first perturbations for different states are studied and variations of them in term of different parameters are plotted. Also, results and optimum conditions are discussed and some suggestions are offered.

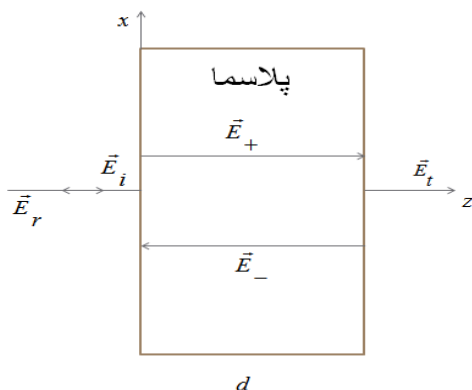
HOW TO CITE: Seyed Ali Hosseini Moradi , Hassan Ranjbar Askari , Mojtaba Rahimi , Investigation of the propagation of laser radar short pulses when dealing with plasma layers and slabs and syudy of nonlinear effects of second harmonic, Journal of Aerospace Defense. Vol. 1, No, 1, 1401.

۱. مقدمه

برهم کنش امواج الکترومغناطیسی با مواد همیشه از موضوعات جالب برای مطالعه بوده است، با توجه به اینکه مواد موجود در جهان تقریباً حالت پلاسمایی دارند لذا بررسی امواج درون پلاسما و رفتار این امواج درون پلاسما از موضوعات اساسی در جهان می‌باشد. هنگام عبور یک پالس پرقدرت لیزر از درون پلاسما، الکترون‌ها در امتداد E نوسان می‌کنند، ولی میدان مغناطیسی موج، نیروی لورنتسی B به الکترون‌ها وارد می‌کند که الکترون‌ها را در امتداد \vec{K} سوق می‌دهد. به علت قابلیت بیشتر الکترون‌ها نسبت یون‌ها که از جرم کم آن ناشی می‌شود، یک جدایی بار فضایی ایجاد می‌شود و میدان شبه ایستایی مقاومی شکل می‌گیرد که این مکانیسم در تولید شتاب‌دهنده‌های رومیزی و ایجاد ردپا، درون محیط پلاسما برای رسیدن به باریکه‌های پرانرژی از ذرات بکار می‌رود [۱].

۲. تولید هارمونیک دوم از پلاسمای غیرمغناطیسی

فرض می‌کنیم که یک پالس لیزر با قطبش خطی P در یک تیغه پلاسمایی که موج در آن دارای انعکاس‌های متوالی است با چشممه موج الکترومغناطیسی تابشی، در جهت محور X ، با بسامد ω در جهت محور Z انتشار می‌یابد. پلاسمای مورداستفاده، یک پلاسمای سرد کم چگال و مطابق شکل (۱) است. در این صورت با استفاده از معادله انتقال جرم، تکانه و ماکسول مربوط به همانه‌گ اول و دوم به محاسبه دامنه‌ی میدان داخل تیغه تیغه پلاسمایی مطابق روابط زیر پرداخته می‌شود [۳].



شکل ۱: نشان‌دهنده تیغه‌ی پلاسمایی است که میدان الکتریکی به صورت عمود بر تیغه تابیده است. و قطبش P و موج TM در نظر گرفته شده است.

میدان موج ورودی بر تیغه‌ی پلاسمایی به صورت زیر است:

$$\hat{\vec{E}}_{1i} = \hat{\vec{E}}_{i0} e^{i(\hat{k}_0 z - \omega t)} \quad (1)$$

به‌طوری‌که $k_0 = \omega/c$ است. میدان الکتریکی داخل تیغه‌ی پلاسمایی به‌صورت زیر در نظر گرفته می‌شود:

$$\hat{\vec{E}}_1^0 = \left[\hat{\vec{E}}_{10}^+ e^{i(\hat{k}_1 z - \omega t)} + \hat{\vec{E}}_{10}^- e^{-i(\hat{k}_1 z + \omega t)} \right] \hat{e}_x \quad (2)$$

علامت‌های مثبت و منفی نشانگر امواجی است که به ترتیب در جهت مثبت و منفی محور Z انتشار می‌یابد به‌طوری‌که \hat{k}_1 از رابطه‌ی زیر به دست می‌آید:

$$\hat{k}_1 = (k_1 + i\alpha_1) \hat{e}_z \quad (3)$$

و مقدار \hat{E}_{10}^- و \hat{E}_{10}^+ را $\alpha_1 = \alpha(\omega)$ و $k_1 = k(\omega)$ در تیغه‌ی پلاسمایی مقدارهای \hat{E}_{10}^+ و \hat{E}_{10}^- را می‌توان با توجه به انعکاس‌های متواالی به‌صورت زیر به دست آورد:

$$\hat{E}_{10}^{+0} = \left(\frac{\hat{t}_{12}}{1 - \hat{r}_{21} \hat{r}_{23} e^{-2\alpha_1 d}} \right) \hat{E}_{i0}, \quad \hat{E}_{10}^- = \left(\frac{\hat{t}_{12} \hat{r}_{23}}{1 - \hat{r}_{21} \hat{r}_{23} e^{-2\alpha_1 d}} \right) \hat{E}_{i0} \quad (4)$$

با استفاده از قانون القای فارادی می‌توان میدان مغناطیسی برای هارمونیک را به دست آورد. سرعت سوق هماهنگ دوم اختلال مرتبه صفرم از رابطه‌ی زیر محاسبه می‌گردد:

$$\hat{V}_2^0 = \hat{\gamma}_2 \hat{E}_2^0 + \frac{\hat{\gamma}_1 \hat{\gamma}_2 \hat{k}_1}{2\omega} \left(\left(\hat{E}_1^{+0} \right)^2 - \left(\hat{E}_1^{-0} \right)^2 \right) \hat{e}_z \quad (5)$$

به‌طوری‌که:

$$\hat{\gamma}_2 = \frac{e}{im(2\omega + iv)}, \quad \hat{\gamma}_1 = \frac{e}{im(\omega + iv)} \quad (6)$$

که در رابطه‌ی (5) جمله‌ی اول و دوم به ترتیب نشان‌دهنده‌ی مؤلفه‌های خطی و غیرخطی سرعت می‌باشند. در این مرحله \hat{V}_2^0 را در رابطه‌ی (5) جایگذاری کرده، چگالی جریان برای هماهنگ دوم برابر می‌شود با:

$$\hat{j}_2^0 = -n_0 e \hat{\gamma}_2 \hat{E}_2^0 - \frac{n_0 \hat{k} \hat{\gamma}_1 \hat{\gamma}_2 e}{2\omega} \left(\hat{E}_1^{+0^2} - \hat{E}_1^{-0^2} \right) \hat{e}_z \quad (7)$$

برای محاسبه‌ی \hat{n}_2 از معادله‌ی انتقال جرم استفاده می‌کنیم با این توضیح که چون محاسبات برای هماهنگ دوم انجام می‌شود می‌توانیم در محاسبات به جای $\frac{\partial}{\partial t}$ مقدار $-2i\omega$ - را قرار دهیم:

$$\hat{n}_2^0 = \frac{n_0}{2i\omega} \left[\hat{\gamma}_2 \vec{\nabla} \cdot \hat{E}_2^0 + \frac{\hat{\gamma}_1 \hat{\gamma}_2 \hat{k}}{2\omega} \vec{\nabla} \cdot \left(\hat{E}_1^{+0^2} - \hat{E}_1^{-0^2} \right) \right] \hat{e}_z \quad (8)$$

برای محاسبه‌ی $(\vec{\nabla} \cdot \hat{E})$ از رابطه‌ی مربوط به قانون گاووس برای هماهنگ دوم استفاده شده است:

$$\vec{\nabla} \cdot \hat{E}_2^0 = -4\pi e \left[\gamma_2 \frac{n_0}{2i\omega} \vec{\nabla} \cdot \hat{E}_2^0 + \frac{n_0 \gamma_1 \gamma_2 k}{4i\omega^2} \vec{\nabla} \cdot \left(\hat{E}_1^{+0^2} - \hat{E}_1^{-0^2} \right) \right] \hat{e}_z \quad (9)$$

نهایتاً معادله‌ی دامنه‌ی حاکم بر هماهنگ دوم بدون اختلال به صورت زیر محاسبه می‌شود:

$$\hat{E}_2^0 = i \frac{e \hat{k}_1 \omega_p^2}{4m\omega^2 (2\omega + iv)(\omega + iv) \epsilon_2} \left(\hat{E}_1^{+0^2} - \hat{E}_1^{-0^2} \right) \hat{e}_z \quad (10)$$

$$\hat{E}_2^{0s} = \left(\hat{E}_{20}^{+0s} e^{2i(\hat{k}_1 z - \omega t)} - \hat{E}_{20}^{-0s} e^{-2i(\hat{k}_1 z + \omega t)} \right) \hat{e}_z \quad (11)$$

با تعریف کمیت‌های بدون بعد به صورت زیر:

$$\Omega_b = \frac{\omega_b}{\omega}, \Omega_c = \frac{v}{\omega}, \Omega_p = \frac{\omega_p}{\omega} \quad (12)$$

آنگاه خواهیم داشت:

$$\hat{E}_{20}^{+0s} = \frac{ie\Omega_p^4 \hat{k}_1}{4m\hat{\epsilon}_2 (2 + i\Omega_c)(1 + i\Omega_c) \omega_p^2} E_{10}^{+2}, \hat{E}_{20}^{-0s} = \frac{ie\Omega_p^4 \hat{k}_1}{4m\hat{\epsilon}_2 (2 + i\Omega_c)(1 + i\Omega_c) \omega_p^2} E_{10}^{-2} \quad (13)$$

به طوری که اندیس صفر پایین نشانگر دامنه و اندیس صفر بالا نشانگر مرتبه‌ی صفرم اختلال است و مشخصه جواب خصوصی است. همان‌طور که دیده می‌شود راستای انتشار موج در جهت میدان الکتریکی می‌باشد. پس جواب خصوصی معادله‌ی موج، طولی می‌باشد [۳].

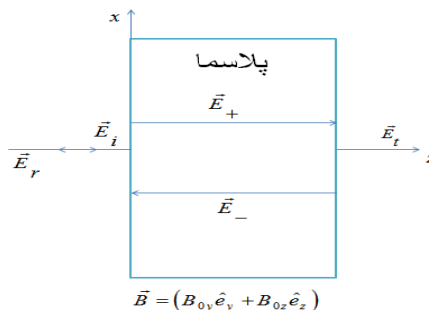
۳. تولید هماهنگ دوم از پلاسمای مغناطیسی در تابش عمودی

در این مرحله، محاسبات را برای هماهنگ دوم در یک تیغه‌ی پلاسمایی که موج دارای انعکاس‌های متوالی است انجام می‌شود. چشمۀ موج الکترومغناطیسی تابشی، دارای قطبش خطی P و جهت انتشار موج در صفحه XZ است و راستای انتشار موج در جهت محور Z در نظر گرفته شده است. پلاسمای مورداستفاده، یک پلاسمای سرد مغناطیسی کم چگال و دارای برخورد است. لذا با فرض کوچک بودن میدان مغناطیسی می‌توان جواب را به صورت زیر نوشت:

(۱۴)

$$\hat{q}_i = \hat{q}_i^0 + \hat{q}_i^1 + \hat{q}_i^2 + \dots$$

به طوری که اندیس بالا مرتبه اختلال (توان میدان مغناطیسی B_0) را نشان می‌دهد. جواب در حالتی که میدان وجود ندارد در بخش قبل حل و مورد بررسی قرار گرفته است. لذا مسئله را برای اختلال مرتبه اول حل می‌کنیم پس شاخص ۱ بالای کمیت‌ها یعنی وابستگی کمیت‌ها به توان‌های اول میدان مغناطیسی است [۴-۸].



شکل ۲: نشان‌دهنده تیغه‌ی پلاسمایی است که میدان الکتریکی به صورت عمود بر تیغه تابیده است. و قطبش P و موج TM در نظر گرفته شده است.

با حل معادله‌ی موج، میدان الکتریکی موج زیر را که مجموعه‌ای از موج طولی و عرضی است، درون تیغه‌ی پلاسمایی به دست می‌آید:

$$\hat{\vec{E}}_1^1 = \hat{f}_1 (\hat{E}_{10}^- e^{i(\hat{k}_1 z - \omega t)} + \hat{E}_{10}^+ e^{-i(\hat{k}_1 z + \omega t)}) \sin \theta \hat{e}_z + \hat{f}_2 (\hat{E}_{10}^- e^{i(\hat{k}_1 z - \omega t)} + \hat{E}_{10}^+ e^{-i(\hat{k}_1 z + \omega t)}) \cos \theta \hat{e}_y \quad (15)$$

$$\hat{f}_2 = i \frac{\omega \omega_p^2 \omega_{bz}}{c^2 (\omega + iv)^2 \left(-\hat{k}_1^2 + \frac{\omega^2}{c^2} \hat{\varepsilon}_1 \right)}, \quad \hat{f}_1 = -i \frac{\omega_p^2 \omega_{by}}{\omega (\omega + iv)^2 \hat{\varepsilon}_1} \quad (16)$$

همچنین معادله‌ی حاکم بر قسمت موهومی معادله‌ی هارمونیک دوم مرتبه اختلال اول را داریم:

$$(-2i\omega + v) \hat{V}_2^1 + \frac{1}{2} \left[\left(\hat{V}_1^0 \cdot \vec{\nabla} \right) \hat{V}_1^1 + \left(\hat{V}_1^1 \cdot \vec{\nabla} \right) \hat{V}_1^0 \right] = -\frac{e}{m} \hat{E}_2^0 - \frac{e}{mc} \hat{V}_2^0 \times \hat{B}_0 - \frac{e}{2mc} \left(\hat{V}_1^0 \times \hat{B}_1^1 + \hat{V}_1^1 \times \hat{B}_1^0 \right) \quad (17)$$

با محاسبه تک‌تک جملات میدان الکتریکی هماهنگ دوم اختلال مرتبه اول را از رابطه‌ی زیر محاسبه می‌شود:

$$\hat{E}_2^{1s} = \hat{E}_{20}^{1+s} e^{2i(\hat{k}_1 z - \omega t)} + \hat{E}_{20}^{1-s} e^{-2i(\hat{k}_1 z + \omega t)} \quad (18)$$

به‌طوری‌که:

$$\hat{E}_{20}^{1+s} = \hat{A} \left(\hat{E}_{10}^{0+} \right)^2, \quad \hat{E}_{20}^{1-s} = -\hat{A} \left(\hat{E}_{10}^{0-} \right)^2 \quad (19)$$

به‌طوری‌که \hat{A} به‌صورت زیر تعریف می‌شود:

$$\hat{A} = \frac{-e\hat{k}_1 \Omega_p^3 \Omega_b}{mc^2 \hat{\varepsilon}_1 (1+i\Omega_c) (2+i\Omega_c)^3} \sin \theta \hat{e}_z + \begin{cases} -\frac{e\hat{k}_1 \Omega_p^4 \Omega_b \omega_p^2}{2mc^2 \hat{\varepsilon}_1 (2+i\Omega_c)^2 (2+i\Omega_c)^2} + \\ \frac{-e\hat{k}_1 \Omega_p^2 \Omega_b \omega_p^2 (1-\hat{\varepsilon}_1)}{mc^2 \hat{\varepsilon}_1 (1+i\Omega_c)^2 (2+i\Omega_c)} + \\ \frac{e\hat{k}_1 \Omega_p^2 \Omega_b}{mc^2 \hat{\varepsilon}_1 (2+i\Omega_c)^2 (1+i\Omega_c)} \end{cases} \sin \theta \hat{e}_x \quad (20)$$

همان‌طور که در معادله‌ی ۲۱ دیده می‌شود، میدان الکتریکی در جهت محور X و Z می‌باشد و جهت انتشار موج نیز در راستای محور Z می‌باشد. از این‌رو موج ایجادشده در تیغه‌ی پلاسما به‌صورت ترکیبی از موج طولی و عرضی است.

۴. جواب عمومی معادلات میدان الکتریکی

جواب عمومی معادله‌ی موج از جمع جواب عمومی معادله‌ی همگن و جواب خصوصی معادله‌ی غیرهمگن به دست می‌آید. با توجه به شکل ۲، میدان‌های الکتریکی نواحی چپ و راست تیغه پلاسما را به ترتیب با \vec{E}_2^L و \vec{E}_2^R نشان دهیم، جواب در خلاً را به صورت زیر معرفی می‌کنیم:

$$\hat{\vec{E}}_2^L = \hat{\vec{E}}_{20}^L e^{-2i(k_0 z + \omega t)}, \quad \hat{\vec{E}}_2^R = \hat{\vec{E}}_{20}^R e^{2i(k_0 z - \omega t)} \quad (21)$$

از طرفی معادله‌ی موج در تیغه پلاسمایی به صورت زیر به دست می‌آید:

$$\hat{\vec{E}}_2^p = \hat{\vec{E}}_{20}^{+g} e^{i(\hat{k}_2 z - 2\omega t)} + \hat{\vec{E}}_{20}^{-g} e^{-i(\hat{k}_2 z + \omega t)} + \hat{\vec{E}}_{20}^{+s} e^{2i(\hat{k}_1 z - \omega t)} + \hat{\vec{E}}_{20}^{-s} e^{-2i(\hat{k}_1 z + \omega t)} \quad (22)$$

به طوری که g مشخصه جواب عمومی معادلات همگن است. با توجه به قانون القای فارادی می‌توان میدان مغناطیسی را برای هر کدام از میدان‌های بالا به دست آورد:

$$\hat{\vec{B}}_2^p = \frac{1}{2} \left[\frac{\hat{k}_2}{k_0} \left(\hat{\vec{E}}_{2x}^{+g} - \hat{\vec{E}}_{2x}^{-g} \right) + 2 \frac{\hat{k}_1}{k_0} \left(\hat{\vec{E}}_{2x}^{+s} - \hat{\vec{E}}_{2x}^{-s} \right) \right] \hat{e}_y \quad (23)$$

از پیوستگی مؤلفه‌های عمودی بردار جابه‌جایی الکتریکی در سطوح مرزی خواهیم داشت:

$$\hat{\vec{E}}_{20z}^L = \hat{\vec{e}}_2 \left(\hat{\vec{E}}_{20z}^{+g} + \hat{\vec{E}}_{20z}^{-g} + \hat{\vec{E}}_{20z}^{+s} + \hat{\vec{E}}_{20z}^{-s} \right) \quad (24)$$

$$\hat{\vec{E}}_{20z}^R e^{2ik_0 d} = \hat{\vec{e}}_2 \left(\hat{\vec{E}}_{20z}^{+g} e^{i\hat{k}_2 d} + \hat{\vec{E}}_{20z}^{-g} e^{-i\hat{k}_2 d} + \hat{\vec{E}}_{20z}^{+s} e^{2i\hat{k}_1 d} + \hat{\vec{E}}_{20z}^{-s} e^{-2i\hat{k}_1 d} \right) \quad (25)$$

چون میدان الکتریکی درون خلاً عرضی است، لذا مؤلفه‌ی عمودی میدان الکتریکی درون خلاً صفر است، لذا داریم:

$$\hat{\vec{E}}_{20z}^{+g} = \frac{\hat{\vec{E}}_{20z}^{+s} (e^{2i\hat{k}_1 d} - e^{-i\hat{k}_2 d}) + \hat{\vec{E}}_{20z}^{-s} (e^{-2i\hat{k}_1 d} - e^{-i\hat{k}_2 d})}{-2i \sin(\hat{k}_2 d)} \quad (26)$$

$$\hat{\vec{E}}_{20z}^{-g} = \frac{\hat{\vec{E}}_{20z}^{+s} (e^{i\hat{k}_2 d} - e^{2i\hat{k}_1 d}) + \hat{\vec{E}}_{20z}^{-s} (e^{i\hat{k}_2 d} - e^{-2i\hat{k}_1 d})}{-2i \sin(\hat{k}_2 d)} \quad (27)$$

همچنین از پیوستگی مؤلفه‌های مماسی میدان الکتریکی میدان‌های مغناطیسی در سطوح مرزی خواهیم داشت:

$$\hat{E}_{20x}^L = -\frac{1}{2} \left[\frac{\hat{k}_2}{k_0} \left(\hat{E}_{20x}^{+g} - \hat{E}_{20x}^{-g} \right) + \frac{2\hat{k}_1}{k_0} \left(\hat{E}_{20x}^{+s} - \hat{E}_{20x}^{-s} \right) \right] \quad (28)$$

$$\hat{E}_{20x}^R = \frac{1}{2} \left[\frac{\hat{k}_2}{k_0} \left(\hat{E}_{20x}^{+g} e^{i\hat{k}_2 d} - \hat{E}_{20x}^{-g} e^{-i\hat{k}_2 d} \right) + \frac{2\hat{k}_1}{k_0} \left(\hat{E}_{20x}^{+s} e^{2i\hat{k}_1 d} - \hat{E}_{20x}^{-s} e^{-2i\hat{k}_1 d} \right) \right] e^{-i2k_0 d} \quad (29)$$

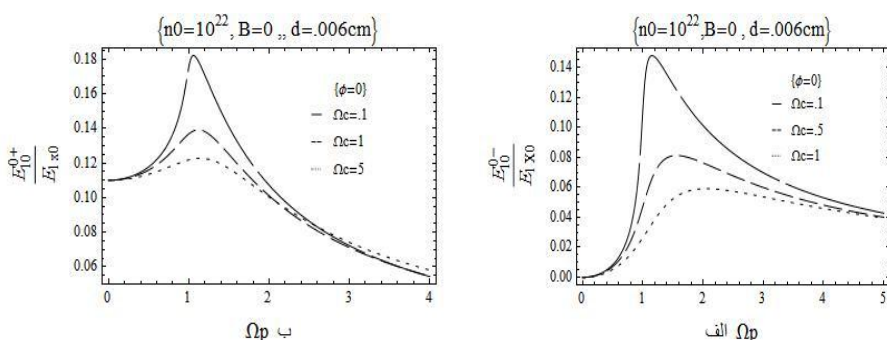
از حل همزمان دو معادله (۲۸) و (۲۹)، میدان‌های کلی درون تیغه پلاسما به دست می‌آیند:

$$\hat{E}_{20x}^g = \frac{\left(1 + \frac{\hat{k}_1}{k_0} \right) \left(1 - \frac{\hat{k}_2}{2k_0} \right) (e^{2i\hat{k}_1 d} - e^{-i\hat{k}_2 d})}{-2i \left(1 - \frac{\hat{k}_2^2}{4k_0^2} \right) \sin(\hat{k}_2 d)} \hat{E}_{20x}^{+s} + \frac{\left(1 - \frac{\hat{k}_1}{k_0} \right) \left(1 - \frac{\hat{k}_2}{2k_0} \right) (e^{-2i\hat{k}_1 d} - e^{-i\hat{k}_2 d})}{-2i \left(1 - \frac{\hat{k}_2^2}{4k_0^2} \right) \sin(\hat{k}_2 d)} \hat{E}_{20x}^{-s} \quad (30)$$

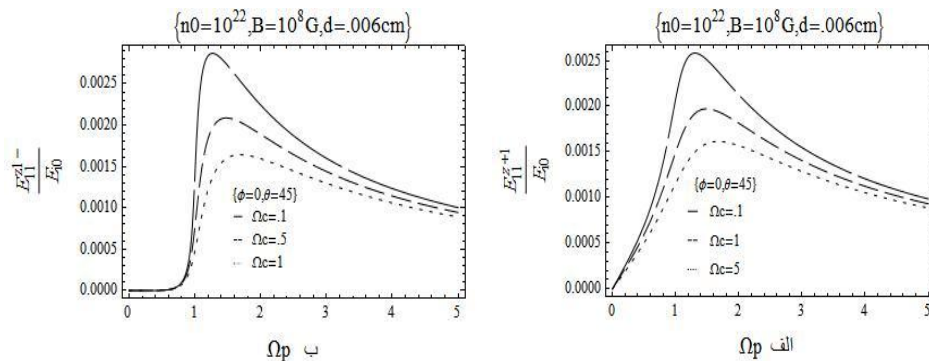
$$\hat{E}_{20x}^{-g} = \frac{\left(1 + \frac{\hat{k}_1}{k_0} \right) \left(1 + \frac{\hat{k}_2}{2k_0} \right) (e^{i\hat{k}_2 d} - e^{2i\hat{k}_1 d})}{-2i \left(1 - \frac{\hat{k}_2^2}{4k_0^2} \right) \sin(\hat{k}_2 d)} \hat{E}_{20x}^{+s} + \frac{\left(1 - \frac{\hat{k}_1}{k_0} \right) \left(1 - \frac{\hat{k}_2}{2k_0} \right) (e^{-i\hat{k}_2 d} - e^{-2i\hat{k}_1 d})}{-2i \left(1 - \frac{\hat{k}_2^2}{4k_0^2} \right) \sin(\hat{k}_2 d)} \hat{E}_{20x}^{-s} \quad (31)$$

برای اختلال مرتبه صفرم، E_2^s تنها دارای مؤلفه‌هایی در راستای محور z است و \hat{E}_{20x}^{-s} و \hat{E}_{20x}^{+s} صفر هستند. درنتیجه \hat{E}_{20x}^{-g} و \hat{E}_{20x}^{+g} هر دو صفر هستند و درنتیجه در خلأ نیز هیچ‌گونه موج هارمونیک دوم وجود ندارد.

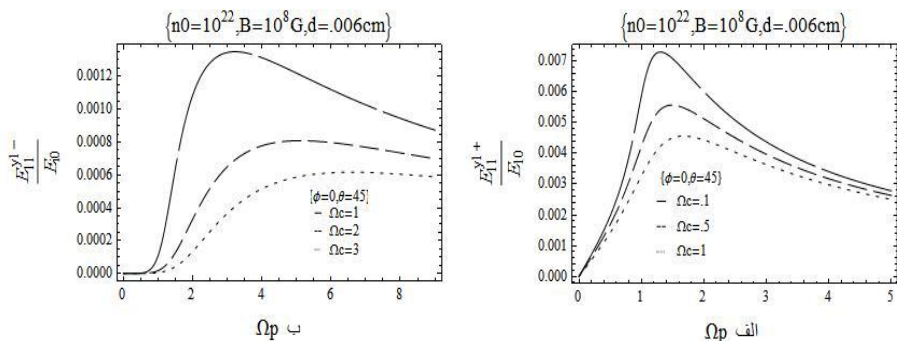
۵. رسم نمودارها



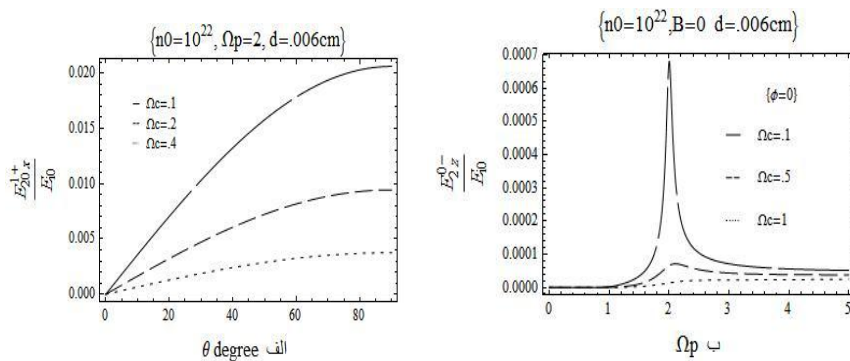
شکل ۳: نمودارهای مؤلفه‌ی x میدان الکتریکی بر حسب Ω_p در تیغه‌ی پلاسمایی برای هارمونیک اول بدون اثر میدان مغناطیسی با قطبش P (TM). الف: انتشار موج در جهت مثبت محور z ب: انتشار موج در جهت منفی محور z .



شکل ۴: نمودارهای مؤلفه‌ی z میدان الکتریکی بر حسب Ω_p در تیغه‌ی پلاسمایی برای هارمونیک اول با اثر میدان مغناطیسی برای قطبش P (TM). الف: انتشار موج در جهت مثبت محور z ب: انتشار موج در جهت منفی محور z .



شکل ۵: نمودارهای مؤلفه‌ی y میدان الکتریکی بر حسب Ω_p در تیغه‌ی پلاسمایی برای هارمونیک اول با اثر میدان مغناطیسی برای قطبش P (TM). الف: انتشار موج در جهت مثبت محور z ب: انتشار موج در جهت منفی محور z .



شکل ۶: مؤلفه z میدان الکتریکی هارمونیک دوم بر حسب θ با بردار انتشار k در تیغه پلاسمایی با اختلال مرتبه اول و قطبش P الف: انتشار موج در جهت مثبت محور z ب: انتشار موج در جهت منفی محور z .

۶- تشکر و قدردانی

از معاونت پژوهش دانشگاه پدافند هوایی خاتم الانبیاء^(ص) که در این پژوهش، همکاری نمودند قدردانی می‌نماییم

۷- نتیجه گیری

با تابش عمودی موج الکترومغناطیسی با تیغه پلاسمایی غیرمغناطیسی می‌توان به این نتیجه رسید که موج در تیغه پلاسمایی فقط به صورت طولی وجود دارد و امواج الکترومغناطیسی وجود ندارند. در یک پلاسمای غیرمغناطیسی به علت همسانگردی، درون آن هیچ‌گونه هماهنگ زوجی تولید نمی‌شود و هماهنگ دوم فقط در روی سطح ایجاد می‌شود. اما وقتی یک میدان مغناطیسی ثابت در محیط پلاسما اعمال می‌کنیم. هماهنگ دوم علاوه بر روی سطح، در محیط پلاسما نیز تولید می‌شود. میدان مغناطیسی اعمال شده در پلاسما بر روی دامنه میدان الکتریکی هماهنگ‌های اول و دوم نیز تأثیرگذار است به طوری که با توجه به نمودارهای شکل ۳، می‌توان مشاهده کرد که در پلاسمای غیرمغناطیسی، با افزایش فرکانس پلاسما از صفر، دامنه کل ابتدا افزایش و سپس کاهش می‌یابد و در نهایت به صفر میل می‌کند. در صورتی که در حالتی که پلاسما مغناطیسی باشد با افزایش فرکانس پلاسما، دامنه میدان زودتر کاهش می‌یابد، این تغییر رفتار ناشی از تأثیر میدان مغناطیسی در محیط پلاسما است. در مورد تأثیر میدان مغناطیسی بر روی بازده توان انعکاسی هماهنگ دوم، می‌توان از مقایسه شکل‌های (۵) و (۶) و روابط (۱۹) تا (۲۰) به این نتیجه رسید که اعمال میدان مغناطیسی باعث افزایش بازدهی توان انعکاسی می‌شود و دامنه میدان الکتریکی در تیغه‌های پلاسمایی برای هارمونیک‌های اول و دوم دارای رزونانس می‌باشد و فرکانس برخورد سبب کاهش دامنه میدان‌ها می‌شود. همچنین افزایش

ضخامت تیغه، میزان میرایی دامنه را افزایش می‌دهد و افزایش میدان مغناطیسی خارجی سبب افزایش دامنه‌ی میدان الکتریکی خواهد شد.

۷- مراجع

- [۱] اف. چن، مقدمه‌ای بر فیزیک پلاسما و هم‌جوشی هسته‌ای، ترجمه‌ی صمد سبحانیان، انتشارات دانشگاه تبریز، ۱۳۸۰.
- [۲] G.T. Ruch, D.E. Barrick, W.D. Stuart, C.K. Krichbaum, in "Radar Cross Section"Handbook , Plenum, New York, (2019) 78-99.
- [۳] A. Ishimaru,"Electromagnetic Wave Propagation, Radiation, and Scattering .Prentice" , Rochester, New Jersey, (2020).
- [۴] O. StenzelJena , The Physics of Thin Film Optical Spectra, Springer, Germany, March, 2005.
- [۵] D. L. Tang, A. P. Sun, X. M. Qiu, and Paul K. Chu" Interaction of electromagnetic waves with a magnetized nonuniform plasma slab, p 405-410 IEEE Trans. Plasma Science. 18 2003.
- [۶] J. A. Bittencourt, Fundamentals of Plasma Physics, Research Scientist Professor, Institute for Space Research (INPE), Sao Paulo, Brazil, 1986.
- [۷] A. Ishimaru,"Electromagnetic Wave Propagation, radiation, and scattering .prentice" Hall,new jersey, 1975.
- [۸] F. Jin , H. Tong , Z. Shi , D. Tang , P. K. Chu "Effects of external magnetic field .on propagation of electromagnetic wave in uniform magnetized plasma slabs.IEEE Trans. Plasma Sci. 21 1993